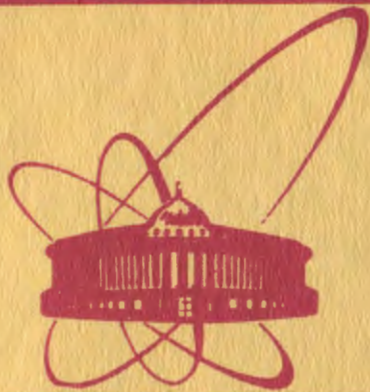


1505/82

29/ii - 82



ОБЪЕДИНЕННЫЙ
ИНСТИТУТ
ЯДЕРНЫХ
ИССЛЕДОВАНИЙ
ДУБНА

Р8-81-770

И.С.Мамедов, В.М.Микляев, В.И.Пряничников,
Ю.П.Филиппов

ГИДРОДИНАМИЧЕСКИЕ ХАРАКТЕРИСТИКИ
ГОРИЗОНТАЛЬНОГО КАНАЛА
ПРИ ДВИЖЕНИИ
ДВУХФАЗНОГО ПОТОКА ГЕЛИЯ

Направлено в "Инженерно-физический журнал"

1981

Гидродинамические характеристики горизонтальных каналов при движении в них гелия необходимы для проектирования протяженных сверхпроводящих магнитных систем, таких, например, как УНК^{1/}. Однако объем такой экспериментальной информации весьма ограничен^{2/}. Сравнительно небольшое число близких по тематике работ^{3-8/} посвящено исследованиям в иных условиях - в вертикальных каналах и змеевиках. В связи с этим нами начаты эксперименты, цель которых состоит в получении гидродинамических характеристик горизонтальных каналов в адиабатных условиях и при подводе тепла, а также в сопоставлении этих результатов с известными данными.

Схема экспериментального стенда показана на рис.1. Поток гелия из установки ХГУ-250/4,5^{7/}, при давлении от 1,2·10⁵ Па и выше проходит последовательно дроссельные вентили /1 и 2/, подающую магистраль /3/, теплообменник /4/, трехходовой вентиль /5/, одно из устройств для измерения расхода гелия - диафрагму /6/, формирователь входного паросодержания /7/, прозрачный элемент /8/ для визуального наблюдения за структурой потока^{10/}, экспериментальный участок /9/, керамическую электроизолирующую вставку /10/, магистраль возврата /11/, дроссельный вентиль /12/. После этого гелий попадает в сосуд /13/ ХГУ-250/4,5, где сепарируется на пар и жидкость. Пар в качестве обратного потока поступает в ХГУ-250/4,5, а часть жидкости из сосуда /13/ через магистраль подпитки /14/ направляется в криостат /15/ с азотным экраном /16/. Криостат может быть соединен с газгольдером либо непосредственно, либо через вакуумный насос /17/. За счет разности давлений в теплообменнике /4/ и криостате /15/ поток гелия конденсируется, а затем охлаждается до состояния недогретой до насыщения жидкости.

Экспериментальный участок /9/ включает трубу из стали 12Х18Н10Т Ø 5,03x0,21 мм и длиной 2,5 м, причем 2 м приходится на обогреваемый участок и по 0,25 м - на "предвключенный" и "послевключенный" участки. На обогреваемой части трубы установлены на расстоянии 1 м друг от друга три камеры для отбора давления. К двум крайним камерам подведены провода для электрического обогрева. Труба для гелия окружена медным экраном, охлаждаемым жидким азотом, и помещена в вакуумный корпус.

Измерение температур гелия перед диафрагмами T_1 и в криостате /15/ осуществлялось с помощью углеродных резисторов фирмы "Allen Bradley", а на входе T_2 и выходе T_3 эксперименталь-

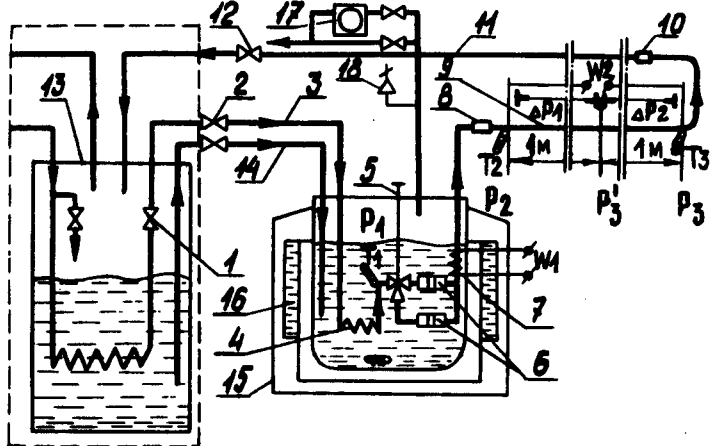


Рис.1. Схема экспериментального стенда /обозначения в тексте/.

ногого участка - посредством германевых термометров сопротивления^{/9/}. Давление на входе определялось по показаниям образцового манометра. Перепады давления на экспериментальном участке измерялись оптическими дифференциальными манометрами типа ОМ-2. Расход гелия определялся с помощью проградуированных диафрагм, имеющих пределы соответственно $0,65 \pm 4,2 \cdot 10^{-3}$ и $3,5 \pm 22,0 \cdot 10^{-3}$ кг/с. Параметры гелия перед экспериментальным участком изменялись посредством специального электрического нагревателя^{/7/}, установленного в криостате^{/15/}. Теплоприток к магистрали с экраном, охлаждаемым жидким азотом, которая соединяет криостат^{/15/} и экспериментальный участок^{/9/}, находился на основе измеренных расхода, температур T_1 , T_2 , давлений P_1 и P_2 для случая течения недогретой до насыщения жидкости.

Каждая серия экспериментов по определению гидравлических сопротивлений канала проводилась при фиксированных тепловой нагрузке, расходе гелия, давлении на выходе* и изменяющейся величине входной энталпии потока, которая рассчитывалась на основе уравнения теплового баланса. Полученные результаты представлялись в виде зависимостей относительного гидравли-

* При работе по приведенной схеме постоянным поддерживается давление в сосуде^{/13/}, который соединен со всасывающей магистралью компрессора установки ХГУ-250/4,5.

ческого перепада давления $\bar{\Delta}P_1 = \frac{\Delta P_1 - \Delta P'}{\Delta P'' - \Delta P'}$ от средней относительной энталпии двухфазного потока $\bar{x}_1 = \frac{i_1 - i'}{i'' - i'}$ при различных удельных тепловых потоках q и массовых скоростях \dot{m} . Величина $\Delta P'$ определялась экспериментально, а соответствующие значения $\Delta P''$ рассчитывались по соотношению $\Delta P'' = \Delta P' \frac{p}{p''}$.

Экспериментально полученные коэффициенты гидравлического сопротивления трения на величину до 20% превышали соответствующие значения, найденные по формуле Никурадзе^{/10/}, которая справедлива для гладких труб при $10^4 < Re < 10^8$. Сравнение опытных данных с расчетом по использованной в^{/6/} формуле Кольбрука и Уайта для шероховатых труб показало, что эквивалентная шероховатость экспериментального участка составляет около 1 мкм, что согласуется с^{/6/}. Соответствующие расхождения не превышают $\pm 6\%$. Величина ΔP_1 , измеряемая в эксперименте, складывается в основном из двух составляющих: перепадов давления за счет трения и ускорения двухфазного потока.

Погрешности определения \bar{x}_1 и ΔP_1 , обусловленные спецификой методики и используемых приборов, составляли соответственно около 11 и 5%. На рис.2 показано сопоставление полученных результатов для первого экспериментального участка с уравнением для гомогенной смеси и зависимостью, обобщающей экспериментальные данные для вертикальной трубы в адиабатных условиях^{/5,6/}. Из этого рисунка видно, что в диапазоне $0 < \bar{x}_1 < 0,6$ перепады давления в горизонтальном канале на 20÷30% ниже соответствующих величин для его вертикального аналога. Однако при $0,6 < \bar{x}_1 < 1$ это различие не превышает 15%. Рис.2 также показывает, что при $\bar{x}_1 < 0,2$ данные для горизонтального канала удовлетворительно согласуются с уравнением для гомогенной смеси, хотя в диапазоне $0,2 < \bar{x}_1 < 1$ расхождение весьма значительно. Соответствии полученных результатов другим известным расчетным зависимостям можно судить из того, что приведенное в^{/6/} сравнение для вертикальной трубы свидетельствует об удовлетворительном согласовании экспериментальных данных с зависимостью Мартинелли-Нельсона для воды и пара при высоком давлении^{/P = 200 \cdot 10^5 \text{ Н/м}^2/}. Вместе с тем значения этих опытных данных существенно меньше рассчитанных по уравнению Локкарта-Мартинелли^{/11/}.

Рис.3 иллюстрирует влияние теплового потока на гидродинамические характеристики $\Delta P_1(\bar{x}_1)$ при массовой скорости $\dot{m} = 120 \text{ кг/м}^2\text{с}$. Из этого рисунка видно, что для обогреваемого канала экспериментальные зависимости располагаются выше кривой, характеризующей течение в адиабатных условиях. При этом для $\bar{x}_1 = \text{idem}$ с увеличением q величина ΔP_1 возрастает. Следует

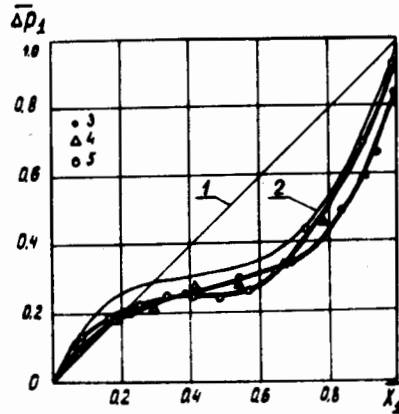


Рис.2. Сопоставление полученных результатов с данными для вертикальной трубы /5,6/ в адиабатных условиях: 1 - гомогенная модель; 2 - обобщающая зависимость /8/; 3 - $m = 120 \text{ кг}/\text{м}^2\text{с}$, $P'_3 = 1,31 \div 1,33 \cdot 10^5 \text{ Па}$, $\Delta P'_1 = 286 \text{ Па}$; 4 - $m = 150 \text{ кг}/\text{м}^2\text{с}$, $P'_3 = 1,31 \div 1,35 \cdot 10^5 \text{ Па}$, $\Delta P'_1 = 446 \text{ Па}$; 5 - $m = 240 \text{ кг}/\text{м}^2\text{с}$, $P'_3 = 1,34 \div 1,41 \cdot 10^5 \text{ Па}$, $\Delta P'_1 = 997 \text{ Па}$.

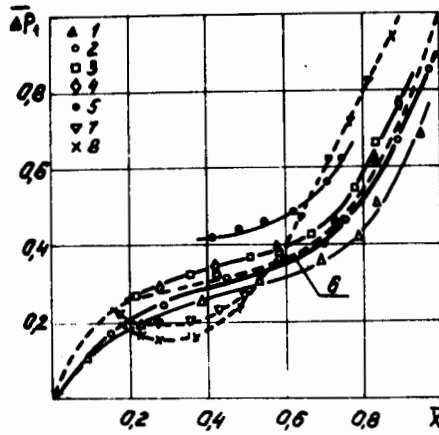
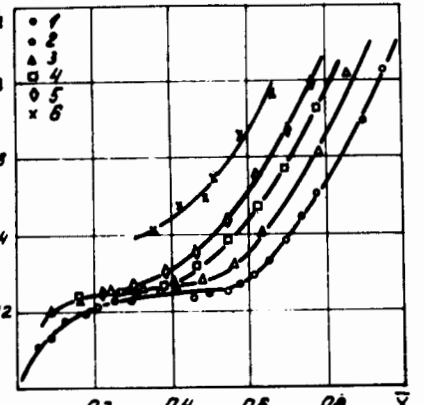


Рис.3. Сравнение полученных данных / $m = 120 \text{ кг}/\text{м}^2\text{с}/$ с результатами для вертикальной трубы / $m = 145 \text{ кг}/\text{м}^2\text{с}/$ /8/ при подводе тепла: 1 - $q = 0$, $P'_3 = 1,31 \div 1,33 \cdot 10^5 \text{ Па}$; 2 - $q = 360 \text{ Вт}/\text{м}^2$, $P'_3 = 1,29 \div 1,32 \cdot 10^5 \text{ Па}$; 3 - $q = 720 \text{ Вт}/\text{м}^2$, $P'_3 = 1,31 \div 1,33 \cdot 10^5 \text{ Па}$; 4 - $q = 1080 \text{ Вт}/\text{м}^2$, $P'_3 = 1,31 \div 1,32 \cdot 10^5 \text{ Па}$; 5 - $q = 1800 \text{ Вт}/\text{м}^2$, $P'_3 = 1,34 \div 1,36 \cdot 10^5 \text{ Па}$; 6 - $q = 0$, данные /8/; 7 - $q = 1000 \text{ Вт}/\text{м}^2$, данные /8/; 8 - $q = 2000 \text{ Вт}/\text{м}^2$, данные /8/.

отметить, что при $q = 1860 \div 1880 \text{ Вт}/\text{м}^2$ наблюдалось колебание расхода гелия в пределах $\pm 10\%$, причем амплитуда колебаний возрастила по мере дальнейшего увеличения q .

На рис.3 представлено также сравнение полученных данных с подобными результатами для вертикального канала. Так, для последнего при $m = 145 \text{ кг}/\text{м}^2\text{с}$ и $0 < \bar{x}_1 < 0,15$ влияние теплового потока мало заметно /5/, тогда как для горизонтальной трубы более существенно. В диапазоне $0,15 < \bar{x}_1 < 0,55$ для вертикального канала характерен гидравлический кризис, сопровождающийся тем большим снижением величины ΔP_1 , чем выше удельный тепловой поток. При $\bar{x}_1 > 0,55$ ΔP_1 практически не зависит от q , а соответствующие значения ΔP_1 несколько превышают перепады давления в адиабатных условиях /8/.

Рис.4. Влияние тепловой нагрузки на гидродинамические характеристики горизонтальной трубы при $m = 240 \text{ кг}/\text{м}^2\text{с}$: 1 - $q = 0$, $P'_3 = 1,34 \div 1,41 \cdot 10^5 \text{ Па}$; 2 - $q = 360 \text{ Вт}/\text{м}^2$, $P'_3 = 1,35 \div 1,43 \cdot 10^5 \text{ Па}$; 3 - $q = 720 \text{ Вт}/\text{м}^2$, $P'_3 = 1,34 \div 1,43 \cdot 10^5 \text{ Па}$; 4 - $q = 1430 \text{ Вт}/\text{м}^2$, $P'_3 = 1,35 \div 1,45 \cdot 10^5 \text{ Па}$; 5 - $q = 2150 \text{ Вт}/\text{м}^2$, $P'_3 = 1,36 \div 1,46 \cdot 10^5 \text{ Па}$; 6 - $q = 3580 \text{ Вт}/\text{м}^2$, $P'_3 = 1,40 \div 1,48 \cdot 10^5 \text{ Па}$ /большие значения P'_3 соответствуют большим \bar{x}_1 /.



Сравнение полученных данных с экспериментальными результатами для обогреваемого змеевика /4/ ($q = 600 \text{ Вт}/\text{м}^2$) показывает довольно значительное их расхождение. О величине этого расхождения можно судить по тому, что данные /4/ удовлетворительно согласуются с расчетами по уравнению для гомогенной смеси.

Увеличение массовой скорости до $240 \text{ кг}/\text{м}^2\text{с}$ приводит к тому, что перепады давления практически одинаковы как для адиабатного течения, так и для $q = 360 \text{ Вт}/\text{м}^2$ во всем диапазоне относительных энталпий /рис.4/. В этом случае изменение \bar{x}_1 от 0,15 до 0,55 ведет к увеличению ΔP_1 примерно на 35%, тогда как для $m = 120 \text{ кг}/\text{м}^2\text{с}$ /рис.3/ в том же интервале \bar{x}_1 величина ΔP_1 возрастает почти на 90% /для адиабатных условий/. Это можно объяснить различными режимами течения двухфазного потока гелия. Так, в соответствии с /8/ массовой скорости $125 \text{ кг}/\text{м}^2\text{с}$ в отмеченном диапазоне \bar{x}_1 соответствует преимущественно снарядный режим течения, а при $m = 220 \text{ кг}/\text{м}^2\text{с}$ наблюдаются пузырьковый и снарядный режимы.

При нагрузках $q > 360 \text{ Вт}/\text{м}^2$ и $\bar{x}_1 > 0,4$ характер зависимостей $\Delta P_1(\bar{x}_1)$ для $m = 240 \text{ кг}/\text{м}^2\text{с}$ качественно такой же, как для $m = 120 \text{ кг}/\text{м}^2\text{с}$. Однако в отличие от результатов, представленных на рис.3, часть экспериментальных данных при $\bar{x}_1 < 0,4$, $m = 240 \text{ кг}/\text{м}^2\text{с}$, $q = 720 \text{ Вт}/\text{м}^2$ и $q = 1430 \text{ Вт}/\text{м}^2$ /рис.4/ практически не отличается от аналогичных для адиабатного режима. Это можно объяснить как неодинакостью режимов течения при разных m , так и некоторым различием давлений в каждой серии опы-

тов, когда $m = 240 \text{ кг}/\text{м}^2\text{с}$ и $q = \text{idem}$. Следует также отметить, что колебаний расхода для $m = 240 \text{ кг}/\text{м}^2\text{с}$ не наблюдалось при возрастании удельных тепловых потоков вплоть до $5700 \text{ Вт}/\text{м}^2$.

Таким образом, при движении двухфазного потока гелия гидродинамические характеристики горизонтального канала существенно отличаются от соответствующих характеристик вертикальных и змеевиковых каналов как в качественном, так и в количественном отношении. Причем это различие проявляется более значительно по мере увеличения тепловой нагрузки.

ПРИЛОЖЕНИЕ

Обозначения, использованные в работе:

m - массовая скорость; P_1 , P_2 , P_3 , P_4 - давления соответственно перед расходомерным устройством, на входе в экспериментальный участок, в его середине и на выходе; ΔP_1 , $\Delta P''$ и $\Delta P'$ - перепады давления, соответствующие двухфазному потоку, насыщенным пару и жидкости; $\bar{\Delta P}_1$ - относительный гидравлический перепад давления, $\bar{\Delta P}_1 = \Delta P_1 - \Delta P'/\Delta P'' - \Delta P'$; i_1 , i'' и i' - энталпии соответственно двухфазного потока, насыщенных пара и жидкости; \bar{x}_1 - относительная энталпия, $\bar{x}_1 = i_1 - i'/i'' - i'$; $i = 1, 2$ - индексы, относящиеся к первому и второму экспериментальному участкам; ρ'' , ρ' - плотности насыщенных пара и жидкости; T_1 , T_2 и T_3 - температуры потока гелия соответственно перед расходомерным устройством, на входе и выходе экспериментального участка; Re - число Рейнольдса; q - удельный тепловой поток, отнесенный к внутренней поверхности канала.

ЛИТЕРАТУРА

1. Агеев А.И. и др. Препринт ИФВЭ, 80-96, ОУНК, Серпухов, 1980.
2. Агеев А.И. и др. ОИЯИ, 8-80-586, Дубна, 1980.
3. Keilin V.E. et al. Cryogenics, 1969, vol.9, No.1, p.36-38.
4. De La Hargre A. et al. Adv. in Cryogenic Eng., 1969, vol.14, p.170-177.
5. Деев В.И. и др. АЭ, 1977, т.42, №4, с.339-340.
6. Деев В.И. и др. Гидравлическое сопротивление при течении двухфазного потока гелия в адиабатических условиях и с подводом тепла. В кн.: Теплообмен 1978. "Наука", М., 1980, с.292-298.
7. Никиткин В.Д. и др. Холодильная гелиевая установка ХГУ-250/4,5. Информационный листок, сер.116, 19М. Цинтихимнефтемаш, М., 1975.

8. Мамедов И.С., Филиппов Ю.П. ОИЯИ, Р8-81-40, Дубна, 1981.
9. Зарубин Л.И., Немиш И.Ю. ПТЭ, 1971, №4, с.260.
10. Справочник по физико-техническим основам криогеники /под ред. М.П.Малкова/, "Энергия", М., 1973, 392 с.
11. Теплопередача в двухфазном потоке /под ред. Д.Баттерворса и Г.Хьюитта/. "Энергия", М., 1980, 326 с.

Рукопись поступила в издательский отдел
16 декабря 1981 года.